

市房山における植生とカモシカ生息について

八代高校 高野茂樹

はじめに

1987年および1988年に実施された熊本県のカモシカ特別調査における植生調査結果は、鹿児島大学の田川日出夫教授によって、大分・熊本・宮崎県教育委員会(1989)にまとめられている。そこでは、カモシカ生息と植生タイプの関係が論じられており、モミ・ツガクラス域とブナクラス域で生息割合が高いことを明らかにしている。

著者は、熊本県のカモシカ生息調査に参加し、植生調査を担当したが、今回は1987年11月と1988年8月に熊本

県球磨郡水上村市房山において得られた植生調査表を用い、糞発見方形区の植生を特定した。そして、糞発見区域と非発見区域について、両区域間の植生の異質性を検定し、市房山においてカモシカ生息に植生が影響しているかどうかを検討したので報告する。

方法と結果

(1) カモシカ生息域の植生

群落の特定は、市房山のカモシカ生息調査地点(図1)で得られたカモシカ糞発見方形区の植生調査表を用いて行った。方形区調査結果は、素表にまとめられ常在度表

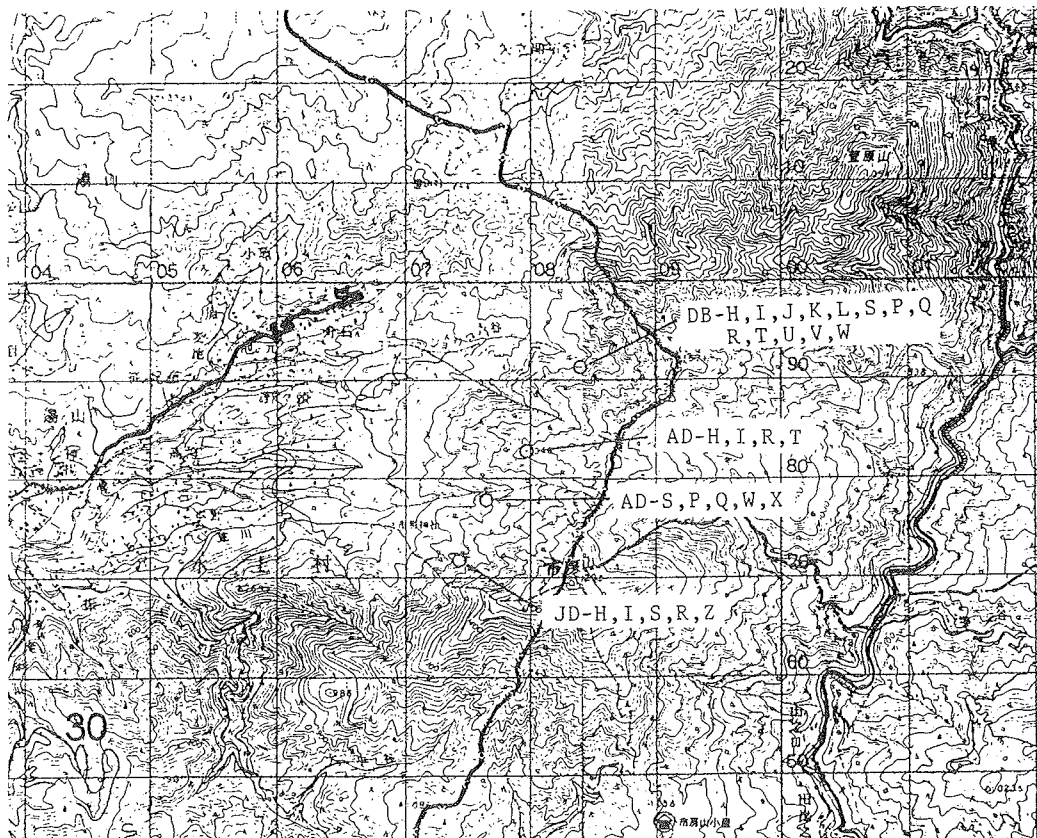


図1. 熊本県市房山コアエリア調査方形区の位置 大分・熊本・宮崎県教育委員会(1989)

表1. カモシカ糞発見区郡の群落組成表

Stand number	1	2	3	4	5	6	7	8	9	10	11	12	13	14	15	16	17	18	19	20	21	22	23	24	25	26		
	A	J	J	J	D	D	D	D	D	D	A	D	A	D	D	D	A	A	A	J	J	A	D	D	A			
	d	d	d	d	b	b	b	b	b	b	d	d	d	b	b	b	d	d	d	d	d	d	b	b	d			
	R	I	R	R	L	Q	U	V	V	U	X	J	Q	I	T	U	W	R	X	Z	H	S	T	T	X			
1	フ	1	2	フ	フ	3	1	2	2	4	ツ	カ	ツ	カ	3	1	ツ	カ	ツ	ツ	ツ	ツ	ツ	ツ	ツ	ツ		
オ	フ	フ	フ	フ	フ	ハ	ハ	ハ	ハ	ハ	カ	カ	カ	カ	カ	カ	カ	カ	カ	カ	カ	カ	カ	カ	カ			
オ	ナ	、	、	、	、	、	、	、	、	、	、	、	、	、	、	、	、	、	、	、	、	、	、	、	、			
マ	ナ	ナ	ナ	ナ	ナ	ス	ス	ス	ス	ス	ス	ス	ス	ス	ス	ス	ス	ス	ス	ス	ス	ス	ス	ス	ス			
ル	ハ	ハ	ハ	ハ	ハ	ハ	ハ	ハ	ハ	ハ	ハ	ハ	ハ	ハ	ハ	ハ	ハ	ハ	ハ	ハ	ハ	ハ	ハ	ハ	ハ			
Number of species	28	24	34	23	15	22	23	26	21	25	22	18	28	19	21	26	33	20	22	19	21	21	28	27	27	26	33	
オオマルバノテンニンソウ・ブナ群集の区分種																												5
1 オオマルバノテンニンソウ																												10
シラキーブナ群集典型的亞群集の区分種																												4
2 クマツテ																												3
3 ツルマツキ																												2.2
4 イタヤカエデ																												17
シラキーブナ群集ハイノキ亞群集の区分種																												5
5 ツカ																												6
ヤハズアジサイ・サワグルミ群集の標微種・区分種																												8
6 サワグルミ																												7
7 ヤハズアジサイ																												6
8 チトトリノキ																												8
9 ミヤマニンジン																												4
10 ヤマトノキ群集の標微種・区分種																												4
11 リョウブ																												3
12 コウヤコガシノフ																												1
13 ナシ																												12
アケボノツツジ・ツツガ群集ヒメコマツ亞群集の標微種・区分種																												1
14 ソクシナボ・ソツシ																												1
15 ヒメコマツ																												3
モミーシキミ群集																												12
16 モミ																												3
イロハモミジ・ケヤキ群集の標微種・区分種																												6
17 カキ																												1
18 アマ・ラブラン																												25
ブナクラスの種																												22
19 スズクサ																												17
20 カンスケ																												15
21 コウヤチカエデ																												14
22 グリバ																												13
23 ヤツノルマツ																												12
24 ビシマツ																												10
25 ブナ																												9
26 イカ・ラミ																												7
27 ウカツリモシ																												6
28 ガクウツキ																												9
29 コハ・クツツキ																												9
30 ハリコトリ																												9
31 シロモジ																												9
32 ミズキ																												8
33 アツマキ																												7
34 コハ・ミツハ・ツツシ																												6
35 ゴトケツル																												5
36 マツツリ																												5
37 ヒメワハ・ミンク																												4
38 シラキ																												5
39 コハクシノク																												6
40 アカシテ																												5
41 カナタケ・ノキ																												5
42 ヤマツ・オウ																												6
43 ツタクシ																												5
44 シ・ユ・モシ・シ・シタ																												5
45 シ・シ・シ・ソウ																												5
46 ソク・ミ・ミ・リ																												5
47 マルミカントイ																												5
ヤツツバキクラスの種																												20
48 シキミ																												17
49 ハイノキ																												16
50 ミヤマシキミ																												7
51 シカ・シラ																												6
52 サカ・モミ・モミ・イチゴ																												6

表2. 各植生タイプ（群集）におけるカモシカ糞の発見方形区数と非発見方形区数

	ツガーハイノキ 群集	ブナーシラキ 群集	材マルバテニシソウ 群集	ヤハズアジサイ 群集	アケボノツツジ群集	モミーシキミ 群集	イロハモミジ 群集	計	χ^2	df	p
糞発見											
方形区数	10	7	1	3	4	1	3	26	2.680	1	>0.05
非発見											
方形区数	12	2	2	0	0	1	2	19			

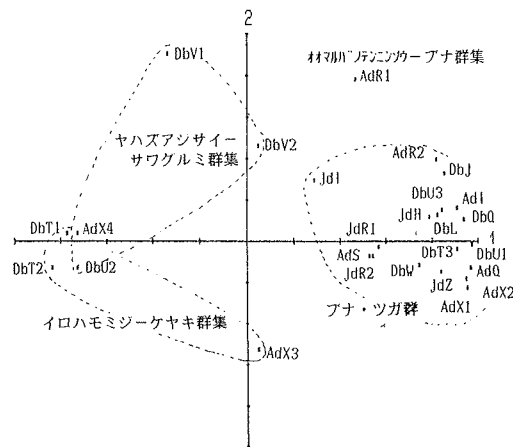


図2. 主成分分析による方形区群の序列

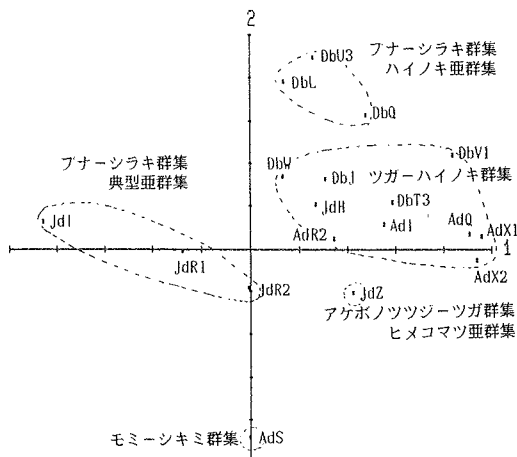


図3. ブナ・ツガ群の主成分による方形区群の序列

を作り、主成分分析の結果をもとにして群集・群落の特定を行った。その結果は表1に示される。主成分分析は、被度を入力して算出した相関行列をもとにして行った。そして、環境傾度が現れる上位2主成分因子負荷量を用いて空間的序列化を行い、群落のグループ化を試みた。糞が発見された26方形区の主成分分析の結果は図2に示される。上位2主成分の積算寄与率は65.5%であった。さらに、図2においてブナ・ツガグループとしてまとめられた18方形区を抽出して主成分分析した結果は、図3に示される。ここでの、上位2主成分積算寄与率は約48.8%であった。図3では、ブナーンラキ群集がハイノキ亞群集と典型亞群集に区分され、ブナ・ツガグループがブナーシラキハイノキ亞群集、ブナーシラキ典型亞群集、モミーシキミ群集、ツガーハイノキ群集とアケボノツツジツガ群集ヒメコマツ亞群集に区分される。以上のことから、カモシカの糞が発見された方形区は、表1に示されるようにブナーシラキハイノキ亞群集、ブナーシラキ典型亞群集、オオマルバノテンニンソウーブナ群集、ヤハズアジサイーサワグルミ群集、ツガーハイノキ群集、アケボノツツジツガ群集ヒメコマツ亞群集、モミーシキミ群集、イロハモミジーケヤキ群集の8群集が特定された。

(2) 粪発見方形区と非発見方形区との植生の差について
表2は全調査方形区45のうち、カモシカ糞発見方形区(26方形区)と非発見方形区(19方形区)を各植生タイプごとに方形区数で示し、両者間の差について二試料 χ^2 検定法を用いて検定した。なお、非発見区の植生分類は大分・熊本・宮崎県教育委員会(1989)に従い、今回糞発見区で区分されたブナーシラキハイノキ亞群集、ブナーシラキ典型亞群集はブナーシラキ群集にまとめた。さらに、ツガーハイノキ群集以外の植生タイプは、データ数が少なくて本検定の制限にかかるので、まとめて扱った。その結果 $\chi^2=2.680$ ($df=1, >0.05$)により、差がないことが示された。

考 察

市房山の植生について、大分・熊本・宮崎県教育委員会(1989)は、本地区の植物群集・群落としてブナーシラキ群集、オオマルバノテンニンソウーブナ群集、ヤハズアジサイーサワグルミ群集、アケボノツツジツガ群集ヒメコマツ亞群集、ツガーハイノキ群集、モミーシキミ群集、イロハモミジーケヤキ群集を明かにしている。

今回、ブナーシラキ群集がさらに、ブナーシラキハイ

ノキ亞群集とブナーシラキ典型亞群集に分けられた。宮脇(1981)によれば典型亞群集は、九州のブナ林の中核をなす典型的なブナ林で、ハイノキ亞群集は、典型亞群集より標高的に下部に位置し、ヤブツバキクラスの境界部に発達する群落である。

カモシカの糞発見方形区(26方形区)と非発見方形区(19方形区)の各植生タイプの方形区出現頻度には差がなかった。これは、データ数が少ないとともより、調査地選定にあたっても予備調査を経てカモシカ生息の可能性の高い急峻なよく似た地形が選定されており、無作為抽出されていないことが要因になっていると思われる。今後、さらにデータ数が蓄積されることにより、もっと細かい点が明らかになってくると思われる。

引 用 文 献

- 石居 進. 1975. 生物統計学入門—具体例による解説と演習, 82-87 培風館.
 大分県・熊本県・宮崎県教育委員会. 1989. 昭和62・63年度九州山地カモシカ特別調査報告書. 123pp. 熊本県文化財調査報告第108集. 熊本.
 木元新作. 1976. 動物群集研究法 I—多様性と種類組成, 192pp. 共立出版.
 宮脇 昭. 1981. 日本植生誌九州. 至文堂.